

МЕХАНИКА
ТВЕРДОГО ТЕЛА
№ 6 · 1979

однородный оболочечный цилиндро- конический	114
оболочки симметрическими	120
однородной оболочки	124
плоской задачи	130
стационарного движения при копировании	136
Ингредиенты Дополнительной задачи теории веретен	145
веретеном	146
то к решению	152
и в принципе	155
А. С. Вольф	166
179	182
184	184

УДК 531.38

О ДВИЖЕНИИ ОСЕСИММЕТРИЧНОГО ТВЕРДОГО ТЕЛА,
ПОДВЕШЕННОГО НА СТРУНЕ

А. Ю. ИЩЛИПСКИЙ, В. А. СТОРОЖЕНКО, М. Е. ТЕМЧЕНКО

(Москва, Киев)

Изучаются некоторые вопросы динамики твердого тела на струнном приводе, который, как показано в работе [1], может быть использован при балансировке быстротращающихся тел. Определяны условия существования стационарных движений подвешенного на струне осесимметричного твердого тела в предположении, что точка подвеса его к струне не лежит на оси динамической симметрии. Проведено исследование этих условий для осесимметричного твердого тела, у которого точка подвеса к струне находится выше его центра масс.

Излагаемые в данной статье результаты частично содержатся в [2].

1. Пусть твердое тело массы m , обладающее осью динамической симметрии, подвешено на абсолютно гибкой, нерастяжимой и безынерционной струне длины l . Другим своим концом струна шарнирно прикреплена к неподвижной точке O_1 .

Предполагается, что точка O_2 (подвеса тела к струне) отстоит от оси динамической симметрии тела на расстоянии, равном l_1 (фиг. 1, а).

Введем непрерывающуюся систему координат $\xi\eta\zeta$ с началом в неподвижной точке O_1 . Ось ζ этой системы направлена вертикально вверх.

В точке G (重心) масс тела поместим начало системы координат $x_1y_1z_1$, жестко связанных с телом. Ось z горизонтальна и проходит через точку O_2 (фиг. 1, а), а ось x расположена в экваториальной плоскости. Оси z_1 и x системы $x_1y_1z_1$ направим соответственно по оси динамической симметрии тела и оси x системы координат $x_1y_1z_1$.

И, наконец, введем поступательно перемещающуюся вместе с телом систему координат $\xi_1\eta_1\zeta_1$ с началом в точке G , оси которой во все времена движения соответственно параллельны осям ξ , η , ζ (фиг. 2).

Пусть C — полярный (т. е. относительно оси z_1), а $A=B$ — экваториальные главные центральные моменты инерции тела ($A=B>C$). Через δ обозначим угол между осями z_1 и z или, что то же, между осями y_1 и y (фиг. 1, а). Естественно считать $0 < \delta < \pi/2$.

Моменты инерции рассматриваемого тела относительно осей x , y , z выражаются в виде

$$I_{xx}=A, \quad I_{yy}=A \cos^2 \delta + C \sin^2 \delta, \quad I_{zz}=C \cos^2 \delta + A \sin^2 \delta \quad (1.1)$$

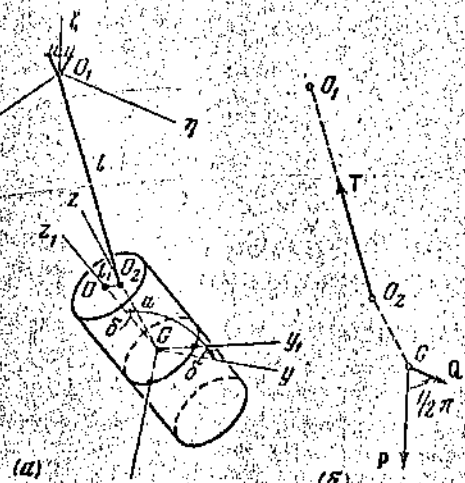
$$I_{yz}=-(A-C) \sin \delta \cos \delta, \quad I_{xz}=I_{xy}=0$$

Положение жестко связанной с телом системы координат $x_1y_1z_1$ относительно системы $\xi_1\eta_1\zeta_1$ определим углами Эйлера ψ , θ и φ (фиг. 2). Проекции p , q , r угловой скорости тела на оси x , y , z выражаются известными формулами:

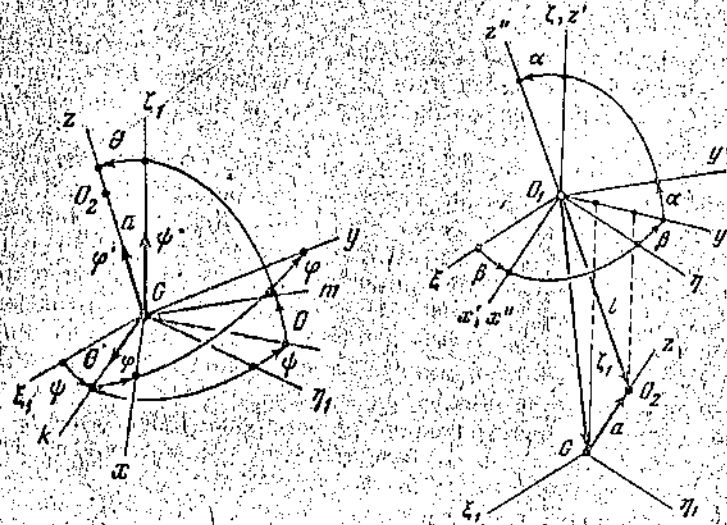
$$p=\psi \sin \theta \sin \varphi + \theta' \cos \varphi \quad (1.2)$$

$$q=\psi \sin \theta \cos \varphi - \theta' \sin \varphi$$

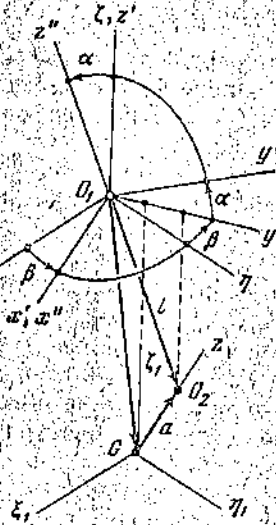
$$r=\psi \cos \theta + \varphi'$$



Фиг. 1



Фиг. 2



Фиг. 3

Положение струны относительно неподвижной системы координат $\xi\eta\zeta$ определим углом α — отклонения струны от вертикали (точнее ее продолжения — z'' от оси ζ) и углом β между осью η и проекцией струны на горизонтальную плоскость $\xi\eta$ (фиг. 3).

Обозначим далее буквой a расстояние между центром масс тела G и точкой O_2 (фиг. 1, a). Координаты точки G в системе координат $\xi\eta\zeta$ представлены так:

$$\begin{aligned}\xi_G &= -l \sin \alpha \sin \beta - a \sin \psi \sin \theta \\ \eta_G &= l \sin \alpha \cos \beta + a \cos \psi \sin \theta \\ \zeta_G &= -l \cos \alpha - a \cos \psi\end{aligned}\quad (1.3)$$

Тело, подвешенное на струне, имеет пять степеней свободы. Естественно выбрать в качестве обобщенных координат введенные выше углы α ,

ψ , θ и ϕ .

+2allc

-1/2(A₁₁

Использовано. Имеем

+1

-sin

+φ''cc

-1

+mal

-2αβ

+si

+ψ''(sin

A(φ''-

-

2. Не

частное

$\dot{\alpha}, \dot{\beta}, \dot{\theta}$ и $\dot{\varphi}$. В этом случае функция Лагранжа приводится к виду

$$\begin{aligned} L = & \frac{1}{2}m\{l^2(\alpha'^2+\beta'^2\sin^2\alpha)+a^2(0'^2+\psi'^2\sin^2\theta)+ \\ & +2al[\alpha'\theta'\sin\alpha\sin\theta+(\alpha'\theta'\cos\alpha\cos\theta+\beta'\psi'\sin\alpha\sin\theta)\cos(\beta-\psi)+ \\ & +(\alpha'\psi'\cos\alpha\sin\theta-\beta'\theta'\sin\alpha\cos\theta)\sin(\beta-\psi)]\}+ \\ & +\frac{1}{2}A(\psi'^2+0'^2+\varphi'^2+2\psi'\varphi'\cos\theta)- \\ & -\frac{1}{2}(A-C)[(\cos\theta\cos\delta-\sin\theta\cos\varphi\sin\delta)\psi'+\theta'\sin\varphi\sin\delta+\varphi'\cos\delta]^2+ \\ & +mg(l\cos\alpha+a\cos\theta) \end{aligned} \quad (1.4)$$

Используя функцию (1.4), составим уравнения Лагранжа второго рода. Имеем

$$\begin{aligned} ml^2(\alpha''-\beta''\sin\alpha\cos\alpha)+mal\sin\alpha(\theta''\cos\theta+\theta''\sin\theta)+ \\ +mal\cos\alpha[\theta''\cos\theta-(\theta''+\psi'')\sin\theta]\cos(\beta-\psi)+ \\ +(\psi''\sin\theta+2\theta'\psi'\cos\theta)\sin(\beta-\psi)+mgl\sin\alpha=0 \\ ml\sin\alpha\{l(\beta''\sin\alpha+2\alpha'\beta'\cos\alpha)+a(\psi''\sin\theta+2\psi'\theta'\cos\theta)\}\times \\ \times\cos(\beta-\psi)+a[(\psi''+\theta'')\sin\theta-\theta''\cos\theta]\sin(\beta-\psi)=0 \\ A(\psi''-\varphi''\cos\theta-\theta'\varphi'\sin\theta)+ma^2(\theta'\varphi'\sin 2\theta+\psi''\sin^2\theta)+ \\ +mal\sin\theta\{(\beta''\sin\alpha+2\alpha'\beta'\cos\alpha)\cos(\beta-\psi)+ \\ +[\alpha''\cos\alpha-(\alpha''+\beta'')\sin\alpha]\sin(\beta-\psi)\}-(A-C)\{(\cos\theta\cos\delta- \\ -\sin\theta\cos\varphi\sin\delta)[\psi''(\cos\theta\cos\delta-\sin\theta\cos\varphi\sin\delta)+\theta''\sin\varphi\sin\delta+ \\ +\varphi''\cos\delta-2\psi'\theta'(\cos\theta\cos\varphi\sin\delta+\sin\theta\cos\delta)+2\psi'\varphi'\sin\theta\sin\varphi\sin\delta]- \\ -\theta'\varphi'\sin\theta(1-2\sin^2\varphi\sin^2\delta)-\theta''\sin\varphi\sin\delta(\cos\theta\cos\varphi\sin\delta+ \\ +\sin\theta\cos\delta)+\varphi''\sin\theta\sin\varphi\sin\delta\cos\delta\}=0 \\ A(\theta''+\psi'\varphi'\sin\theta)+ma^2(\theta''-\psi''\sin\theta\cos\theta)+ \\ +mal\{[\sin\alpha\sin\theta+\cos\alpha\cos\theta\cos(\beta-\psi)]\alpha''-\beta''\sin\alpha\cos\theta\sin(\beta-\psi)+ \\ +\alpha''\cos\alpha\sin\theta-(\alpha''+\beta'')\sin\alpha\cos\theta\cos(\beta-\psi)- \\ -2\alpha'\beta'\cos\alpha\cos\theta\sin(\beta-\psi)\}+(A-C)\{\psi''\sin\varphi\sin\delta[(\sin\theta\cos\varphi\sin\delta- \\ -\cos\theta\cos\delta)-\theta''\sin\varphi\sin\delta-\varphi''\cos\delta]-\psi'\varphi'[\cos\theta\cos\varphi\sin 2\delta+ \\ +\sin\theta(1-2\cos^2\varphi\sin^2\delta)]-\theta'\varphi'\sin 2\varphi\sin^2\delta-\varphi''\cos\varphi\sin\delta\cos\delta+ \\ +\psi''(\sin\theta\cos\varphi\sin\delta-\cos\theta\cos\delta)(\cos\theta\cos\varphi\sin\delta+\sin\theta\cos\delta)\}+mga\sin\theta=0 \\ A(\psi''+\psi'\cos\theta-\psi'\theta'\sin\theta)+(A-C)\{[\psi''(\sin\theta\cos\varphi\sin\delta-\cos\theta\cos\delta)- \\ -\theta''\sin\varphi\sin\delta-\varphi''\cos\delta]\cos\delta+\theta'\varphi'[\sin\theta(1-2\sin^2\delta\cos^2\varphi)+ \\ +\cos\theta\cos\varphi\sin 2\delta]+\theta''\sin\varphi\cos\varphi\sin^2\delta+ \\ +\psi''\sin\varphi\sin\theta\sin\delta(\cos\theta\cos\delta-\sin\theta\cos\varphi\sin\delta)\}=0 \end{aligned} \quad (1.5)$$

2. Нетрудно убедиться, что совокупность уравнений (1.5) допускает частное решение

$$\alpha=\alpha_0, \beta=\omega t+\beta_0, \quad \psi=\omega t+\psi_0, \quad \theta=\theta_0, \quad \varphi=\varphi_0 \quad (2.1)$$

соответствующее стационарным движениям рассматриваемого тела. Подставляя решение (2.1) в систему (1.5), находим, что постоянные α_0 , β_0 , ϕ_0 , θ_0 и ψ_0 связаны уравнениями

$$\begin{aligned} -ml\omega^2 \cos \alpha_0 [l \sin \alpha_0 + a \sin \theta_0 \cos (\beta_0 - \psi_0)] + mgl \sin \alpha_0 &= 0 \\ mal\omega^2 \sin \alpha_0 \sin \theta_0 \sin (\beta_0 - \psi_0) &= 0, \quad -mal\omega^2 \sin \alpha_0 \sin \theta_0 \sin (\beta_0 - \psi_0) = 0 \quad (2.2) \\ -maw^2 \cos \theta_0 [a \sin \theta_0 + l \sin \alpha_0 \cos (\beta_0 - \psi_0)] + \\ +(A-C)\omega^2 (\sin \theta_0 \cos \phi_0 \sin \delta - \cos \theta_0 \cos \delta) (\cos \theta_0 \cos \phi_0 \sin \delta + \\ +\sin \theta_0 \cos \delta) + mga \sin \theta_0 &= 0 \\ (A-C)\sin \theta_0 \sin \phi_0 \sin \delta (-\sin \theta_0 \cos \phi_0 \sin \delta - \cos \theta_0 \cos \delta) \omega^2 &= 0 \end{aligned}$$

Из совпадающих второго и третьего уравнений (2.2) следует, что при $\alpha_0 \neq 0$ и $\theta_0 \neq 0$ должно выполняться условие

$$\sin (\beta_0 - \psi_0) = 0 \quad (2.3)$$

Последнее в совокупности с решением (2.1) и при использовании фиг. 2 и 3 позволяет сделать вывод о том, что при стационарном движении тела его центр масс G и точка O_2 (фиг. 1, а) постоянно лежат в вертикальной плоскости $y'z'$ системы координат $x'y'z'$, которая вращается относительно неподвижной системы $\xi\eta\xi$ с угловой скоростью ω вокруг оси z' , совпадающей с осью ζ .

В плоскости $y'z'$ постоянно находятся действующие на тело силы: сила веса $P = mg$ и сила T , с которой струна воздействует на тело (фиг. 1, б). Если рассматривать относительное равновесие тела по отношению к врашающейся системе координат $x'y'z'$, то к упомянутым силам следует добавить силу инерции переносного движения Q . Из условий равновесия следует, что линия действия силы Q также постоянно находится в плоскости $y'z'$.

Отметим одно важное обстоятельство. Если точка O_2 (крепления тела к струне) лежит выше неподвижной точки O_1 (фиг. 1, а), то равновесие сил возможно лишь в случае, когда сила T направлена от неподвижной точки O_1 к точке O_2 . При этом в самой струне должны возникнуть сжимающие усилия, что недопустимо [3].

При угле $\alpha_0 = \pm \frac{1}{2}\pi$, либо $\alpha_0 = -\frac{1}{2}\pi$ точки O_1 и O_2 будут находиться на одном уровне (фиг. 1, а). При этом линии действия сил T и Q совпадают и треугольник сил не может быть замкнут. Следовательно, при стационарном движении тела, подвешенного на струне, точка O_2 всегда находится ниже неподвижной точки O_1 . В результате диапазон изменения угла α_0 оказывается следующим:

$$-\frac{1}{2}\pi < \alpha_0 < \frac{1}{2}\pi \quad (2.4)$$

Будем считать, что центр масс тела G постоянно расположен ниже точки O_3 подвеса тела к струне¹. При этом предположении угол θ_0 может изменяться в тех же пределах, что и упомянутый угол α_0 , т. е.

$$-\frac{1}{2}\pi < \theta_0 < \frac{1}{2}\pi \quad (2.5)$$

Диапазоны (2.4) и (2.5) изменения углов α_0 , θ_0 содержат значения $\alpha_0 = 0$ и $\theta_0 = 0$. При этих значениях углы β_0 , ϕ_0 , ψ_0 оказываются неопределенными.

¹ Случай, когда точка G расположена выше точки O_2 , возможен, однако в данной работе он не рассматривается.

При одиночном весе P винтовой вектор подвижной $\xi\eta\xi$ и ламбертоных [2] (предположение)

Таким образом, второго $A=B$ при исключении следующих

Из принципа

Левая часть обращается в

А

Рассмотрим 3. Пуста тела становятся четвертыми

Нетрудно показать, что $\alpha_0 = \theta_0 = 0$ является

откуда $\alpha_0 = \theta_0 = 0$, которые,

Углы, Заметим (2.7) слу-

При

Из условия Одна временно пьет горячий чай

тваемого тела. Под
востоянью $\alpha_0, \beta_0, \psi_0$,

$$l \sin \alpha_0 = 0 \quad (2.2)$$

и

$$\cos \phi_0 \sin \delta +$$

$$\cos \delta) \omega^2 = 0$$

следует, что при

(2.3)

при использовании
шаром движения
скат в вертикаль-
ращается относи-
тельно оси z' ,
а тело силы: сила
тела (фиг. 1, б).
отношению к вра-
щалам следует до-
ловий равновесия
находится в пло-
(крепления тела
к), то равновесие
от неподвижной
зафиксирует сжи-

т находитесь на
 Γ и Q совпадают
но, при стацио-
 O_2 всегда наход-
зации изменения

(2.4)

зложен ниже
угол θ_0 может
б.

(2.5)

ржат значения
ются неопреде-

лены

однако в данной

При одновременном выполнении равенств $\alpha_0 = \theta_0 = 0$ линии действия силы веса P и силы воздействия струны на тело T совпадают с неподвижной вертикалью ξ . Поэтому главный момент этих сил относительно неподвижной точки O_1 равен нулю. Главный же момент элементарных дамберовых сил инерции тела равен нулю лишь в случае, когда $A=B=C$ [2] (предполагается, что $\delta \neq 0$).

Таким образом, при рассмотрении стационарного движения тела, у которого $A=B \neq C$, значения $\alpha_0=\theta_0=0$ следует исключить из рассмотрения и при исследовании уравнений (2.2) учитывать изменение углов α_0, θ_0 в следующих пределах:

$$-\frac{1}{2}\pi < \alpha_0 < 0, \quad 0 < \alpha_0 < \frac{1}{2}\pi, \quad -\frac{1}{2}\pi < \theta_0 < 0, \quad 0 < \theta_0 < \frac{1}{2}\pi \quad (2.6)$$

Из приведенного выше условия (2.3) вытекает, что

$$\beta_0 - \psi_0 = 0 \quad (2.7)$$

Левая часть последнего уравнения (2.2) при учете соотношений (2.6) обращается в нуль при выполнении одного из следующих трех равенств:

$$A=C, \quad (-\sin \theta_0 \cos \phi_0 \sin \delta + \cos \theta_0 \cos \delta) \omega^2 = 0, \quad \sin \phi_0 = 0 \quad (2.8)$$

Рассмотрим каждое из них отдельно.

3. Пусть выполняется первое условие (2.8). Тогда эллипсоид инерции тела становится шаром. В этом случае, учитывая равенство (2.7), первое и четвертое уравнения (2.2) преобразуем к виду

$$\cos \alpha_0 (l \sin \alpha_0 + a \sin \theta_0) \omega^2 = g \sin \alpha_0 \quad (3.1)$$

$$\cos \theta_0 (l \sin \alpha_0 + a \sin \theta_0) \omega^2 = g \sin \theta_0$$

Нетрудно убедиться, что уравнения (3.1) имеют тривиальное решение $\alpha_0=\theta_0=0$. Кроме того, при учете соотношений (2.6) из них следует равенство

$$\operatorname{tg} \alpha_0 = \operatorname{tg} \theta_0 \quad (3.2)$$

откуда $\alpha_0=\theta_0$. В итоге приходим к соотношению

$$\cos \alpha_0 = \cos \theta_0 = g / \omega^2 (l+a) \quad (3.3)$$

которые, разумеется, справедливы лишь при

$$\omega^2 > g(l+a)^{-1} \quad (3.4)$$

Углы ϕ_0 и $\beta_0=\psi_0$ могут быть при этом произвольными.

Заметим, что условие (2.3) выполняется и в существенно отличном от (2.7) случае, когда

$$\beta_0 - \psi_0 = \pi \quad (3.5)$$

При этом первое и четвертое уравнения (2.2) приводятся к виду

$$\cos \alpha_0 (l \sin \alpha_0 - a \sin \theta_0) \omega^2 = g \sin \alpha_0 \quad (3.6)$$

$$\cos \theta_0 (l \sin \alpha_0 - a \sin \theta_0) \omega^2 = -g \sin \theta_0$$

Из (3.6) следует

$$\operatorname{tg} \alpha_0 = -\operatorname{tg} \theta_0 \quad (3.7)$$

Однако при использовании фиг. 2 легко убедиться в том, что одновременное изменение угла ψ_0 на π и знака угла θ_0 на обратный не изменяет положения оси z . Следовательно, рассмотрение случая (3.5) не приводит к появлению новой формы стационарного движения.

4. Рассмотрим теперь стационарное движение тела, которое имеет место при выполнении второго равенства (2.8). Считая по-прежнему углы α_0 и θ_0 отличными от нуля, это равенство преобразуем к виду

$$\cos \varphi_0 = \operatorname{ctg} \delta \operatorname{ctg} \theta_0 \quad (4.1)$$

и подставим значение $\cos \varphi_0$ в четвертое уравнение (2.2). В результате, при использовании условия (2.7) для определения углов α_0 , θ_0 вновь приходим к уравнениям (3.1). Их решение определяется приведенными выше соотношениями (3.3). Однако область возможных значений угловой скорости ω , при которых они имеют место, теперь несколько иная, чем (3.4). Из условия (4.1) при использовании равенств (2.6) следует, что

$$\operatorname{ctg} \delta \operatorname{ctg} \theta_0 \leq 1 \quad (\theta_0 \geq 1/2\pi - \delta) \quad (4.2)$$

Учитывая здесь выражение для θ_0 , вытекающее из равенств (3.3), приходим к условию

$$\omega^2 = g / (l+a) \cos \theta_0 \geq g / (l+a) \sin \delta = \omega_*^2 \quad (4.3)$$

Для получения наглядной картины рассматриваемого стационарного движения заметим, что выражение, стоящее в левой части второго равенства (2.8), является косинусом угла, образованного осью симметрии тела z_1 и вертикальной осью ξ_1 . Действительно, используя фиг. 1 и 2, нетрудно убедиться в существовании зависимостей

$$\begin{aligned} \cos(x, z_1) &= 0, \quad \cos(y, z_1) = -\sin \delta, \quad \cos(z, z_1) = \cos \delta \\ \cos(\xi_1, x) &= \sin \theta \sin \varphi, \quad \cos(\xi_1, y) = \sin \theta \cos \varphi, \quad \cos(\xi_1, z) = \cos \theta \end{aligned} \quad (4.4)$$

Согласно известной формуле аналитической геометрии, косинус угла между осями ξ_1 , z_1 соответственно введенных систем координат ξ_1, η_1, ζ_1 и x_1, y_1, z_1 можно представить, используя соотношения (4.4), следующим образом:

$$\begin{aligned} \cos(\xi_1, z_1) &= \cos(\xi_1, x) \cos(x, z_1) + \cos(\xi_1, y) \cos(y, z_1) + \\ &+ \cos(\xi_1, z) \cos(z, z_1) = \cos \theta \cos \delta - \sin \theta \sin \delta \cos \varphi \end{aligned} \quad (4.5)$$

Равенство (4.5) справедливо во все время движения тела. При его стационарном движении, когда $\theta = \theta_0$, $\varphi = \varphi_0$ и выполняется второе условие (2.8), оно приобретает вид

$$\cos(\xi_1, z_1) = 0 \quad (4.6)$$

Из этого равенства вытекает, что в рассматриваемом стационарном движении ось симметрии тела z_1 перпендикулярна вертикальной оси ξ_1 и, следовательно, постоянно находится в горизонтальной плоскости (фиг. 4, а, б).

При $\omega < \omega_*$ стационарное движение тела, при котором справедливы равенства (3.3), невозможно. Если же $\omega > \omega_*$, то ось z_1 , двигаясь в горизонтальной плоскости, будет постоянно касаться некоторой окружности радиуса r , центр которой O' лежит на неподвижной вертикали ξ_1 (фиг. 4, а, б). Нетрудно показать, используя фиг. 4, в, что радиус r определяется формулой

$$r = (a+l) (\sin^2 \delta - \cos^2 \theta_0)^{1/2} \quad (4.7)$$

В предельном случае при $\theta_0 \rightarrow 1/2\pi$ (и в силу второго равенства (2.8) и

соотношения

личине

Отметим

(4.3)

В это-

рии тела

Следу-

уравнени

Этим

рных осей

сти O, O' с

ных дли-

Граф-

для толь-

фиг. 5. У

стремятс

$1/2\pi$ при

и к $-1/2\pi$

5. Ра-

ла, которое имеет
всюду по-прежнему
виду

(3.1)

2). В результате,
в α_0, θ_0 вновь при-
наданными выше
степень угловой ско-
рои иная, чем (3.4).
Коэффициент, что

(4.2)

вопреки (3.3), при-

(4.3)

о стационарного
момента второго равен-
ства симметрии тела
1 и 2, нетрудно $=\cos \delta$

(4.4)

 $(\xi_1, z) = \cos \theta$ и косинус угла
ординат ξ_1, η_1 и
следующим об-

(4.5)

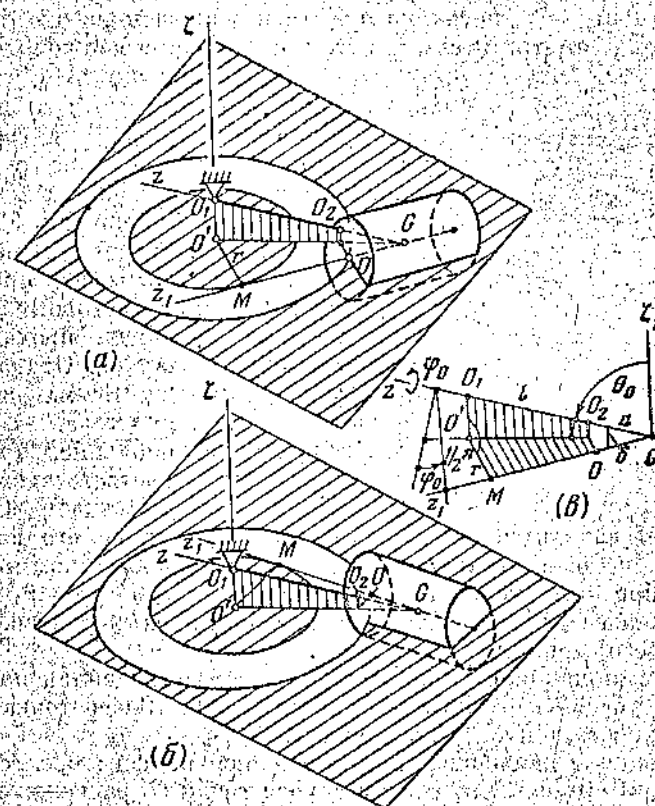
 $z_1 +$ $\sin \varphi$ ка. При его ста-
нике второе усло-

(4.6)

стационарном
моменте оси ξ_1 и
в плоскостиравнодлины ра-
вны и горизон-
тальной кривизне
(фиг. 4, а, б).
Появляется фор-

(4.7)

мства (2.8) и



Фиг. 4

соотношений (3.3), при $\varphi_0 \rightarrow 1/2\pi, \omega \rightarrow \infty$) радиус r будет стремиться к величине

$$r = (a+l) \sin \delta \quad (4.8)$$

Отметим, что при $\omega^2 = \omega_*^2 = g[(a+l) \sin \delta]^{-1}$, согласно равенствам (3.3),

$$\cos \alpha_0 = \cos \theta_0 = \sin \delta \quad (4.9)$$

В этом случае из формулы (4.7) вытекает, что $r=0$, и ось симметрии тела z_1 будет пересекать неподвижную вертикаль ξ .

Следует заметить, что при изменении θ_0 в интервале $(1/2\pi - \delta, 1/2\pi)$ уравнение (4.1) имеет два решения:

$$\varphi_0 = \arccos(\operatorname{ctg} \delta \operatorname{ctg} \theta_0), \quad \varphi_0 = 2\pi - \arccos(\operatorname{ctg} \delta \operatorname{ctg} \theta_0) \quad (4.10)$$

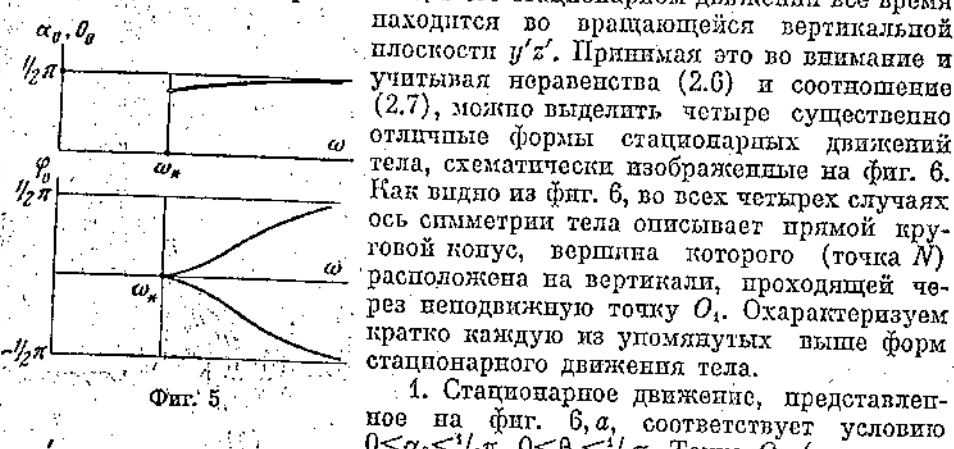
Этим решениям соответствуют два стационарных движения, при которых ось тела z , занимает положения, симметричные относительно плоскости $O_1 O' G$. На фиг. 4, а, б показаны положения тела при этих стационарных движениях.

Графики зависимости углов $\alpha_0, \theta_0, \varphi_0$ от изменения угловой скорости ω для только что рассмотренных стационарных движений представлены на фиг. 5. Из этих графиков видно, что при больших значениях ω углы α_0, θ_0 стремятся к $1/2\pi$. При этом угол φ_0 будет асимптотически стремиться к $1/2\pi$ при стационарном движении, схематически изображенном на фиг. 4, а, и к $-1/2\pi$ при движении, представляемом на фиг. 4, б.

5. Рассмотрим третье условие (2.8), из которого следует

$$\varphi_0 = 0 \quad (5.1)$$

Используя фиг. 4—3, нетрудно прийти к заключению, что при выполнении (5.1) ось симметрии тела z_1 в его стационарном движении все время находится во врачающейся вертикальной плоскости $y'z'$. Принимая это во внимание и учитывая неравенства (2.6) и соотношение (2.7), можно выделить четыре существенно отличные формы стационарных движений тела, схематически изображенные на фиг. 6. Как видно из фиг. 6, во всех четырех случаях ось симметрии тела описывает прямой круговой конус, вершина которого (точка N) расположена на вертикали, проходящей через неподвижную точку O_1 . Охарактеризуем кратко каждую из упомянутых выше форм стационарного движения тела.



Фиг. 5.

1. Стационарное движение, представленное на фиг. 6, а, соответствует условию $0 < \alpha_0 < \pi/2$, $0 < \theta_0 < \pi/2$. Точка O_2 (крепления тела к струне) находится вне поверхности конуса ниже его вершины N .

2. Положение тела в стационарном движении, показанном на фиг. 6, б, имеет место при выполнении неравенств $0 < \alpha_0 < \pi/2$, $-\pi/2 < \theta_0 < 0$. В данном случае точка O_2 также находится вне поверхности конуса, но расположена выше его вершины.

3. Форма стационарного движения тела, представленная на фиг. 6, в, соответствует условию $-\pi/2 < \alpha_0 < 0$, $-\pi/2 < \theta_0 < 0$. Здесь точка O_2 лежит внутри поверхности конуса ниже точки N .

4. Стационарное движение, представленное на фиг. 6, г, существует при $-\pi/2 < \alpha_0 < 0$, $0 < \theta_0 < \pi/2$. В этом случае точка O_2 расположена внутри поверхности конуса выше его вершины.

Определим зависимости углов α_0 и θ_0 от изменения угловой скорости ω во всех указанных выше четырех случаях стационарного движения тела. С этой целью в первом и четвертом уравнениях (2.2) используем равенства (2.7) и (5.1). В результате получим

$$\begin{aligned} -m\omega^2 l \cos \alpha_0 (l \sin \alpha_0 + a \sin \theta_0) + mgl \sin \alpha_0 &= 0 \\ -ma\omega^2 \cos \theta_0 (l \sin \alpha_0 + a \sin \theta_0) + mga \sin \theta_0 + \frac{1}{2}(C-A)\omega^2 \sin 2(\theta_0 + \delta) &= 0 \end{aligned} \quad (5.2)$$

Уравнения (5.2), при учете неравенств (2.6), введении замены переменных

$$\sin \theta_0 = x, \sin \alpha_0 = y, \cos \theta_0 = (1-x^2)^{1/2}, \cos \alpha_0 = (1-y^2)^{1/2}$$

и обозначений

$$x = a/l, \sigma = (A+C)(mal)^{-1} \cos 2\delta, \rho = (A-C)(mal)^{-1} \sin \delta \cos \delta, v = g/\omega^2 l \quad (5.3)$$

приводятся к следующим:

$$x = yx^{-1}[\psi(1-y^2)^{-1/2} - 1], \quad y = x(v + px)(1-x^2)^{-1/2} - (\kappa + \sigma)x - \rho(1-x^2)^{1/2} \quad (5.4)$$

Решениями совокупности уравнений (5.4) при произвольном изменении параметра v и фиксированных значениях остальных параметров x , σ , ρ являются точки пересечения кривых, заданных на плоскости (x, y) уравнениями

$$x = f_1(y, v) = yx^{-1}[\psi(1-y^2)^{-1/2} - 1] \quad (5.5)$$

$$y = f_2(x, v) = x(v + px)(1-x^2)^{-1/2} - (\kappa + \sigma)x - \rho(1-x^2)^{1/2}$$

при одних и тех же значениях v .

Нетрудно
второй пло-
жения тела,

6. Иссле-
семейство к;
точку с коор-
Диаграмы

убеждаемся
функцией x
на управлени-
направлена
перегиба. Г-
касания ра-
Координаты

На фиг.
Рассмот-
ство крив-
и общую
асимптоти-
ческими $v = p$
Для ог-
рой промз-

Оклады
уравнение
ного нап-
вой произ-
ния экстр

Из эл-
минимум
 $= f_1(x, v)$
пустъ

Подст-

Один
отрицат-
венностю
экстрему

Для

, что при выполнении все время и вертикальной о во внимание и соотношение ре существенно движений типы на фиг. 6. четырех случаях из прямой кругового (точка N) проходящей через характеризуем выше форми, представленную условию O_2 (крепления вершины N) на фиг. 6, б, $\theta_0 < 0$. В данном случае, но распо-

на фиг. 6, в, точка O_2 лежит существуют окна внутри какой скорости движения тела. изуем равен-

$$(0_0 + \delta) = 0 \quad (5.2)$$

измены пере-

$$= g/\omega^2 l \quad (5.3)$$

$$= \sigma^2 / \omega^2 \quad (5.4)$$

изменения коэффициентов x, σ , величины (x, y)

$$= (5.5)$$

Нетрудно заметить, что изменению переменных x, y в каждой из четвертей плоскости (x, y) соответствует одна из форм стационарного движения тела, схематически представленных на фиг. 6.

6. Исследуем прежде всего на плоскости (x, y) однопараметрическое семейство кривых $x = f_1(y, v)$. Оно имеет две асимптоты $y = \pm 1$ и общую точку с координатами $(0, 0)$.

Анализируя вторую производную функции $x = f_1(y, v)$ по y

$$\frac{\partial^2 f_1(y, v)}{\partial y^2} = 3vy(1-y^2)^{-3/2} \quad (6.1)$$

убеждаемся, что в верхней полуплоскости $y > 0$ кривые, представленные функцией $x = f_1(y, v)$, обращены вогнутостью в сторону положительного направления оси x , а в нижней полуплоскости — в сторону отрицательного направления этой оси. Точка с координатами $(0, 0)$ является точкой перегиба. При $v < 1$ эти кривые имеют вертикальные касательные. Точки касания расположены во второй и четвертой четвертях плоскости (x, y) . Координаты этих точек соответственно имеют вид

$$x_1 = -v^{-1}(1-v^{2/3})^{1/3}, \quad y_1 = (1-v^{2/3})^{1/3} \quad (6.2)$$

$$x_2 = v^{-1}(1-v^{2/3})^{1/3}, \quad y_2 = -(1-v^{2/3})^{1/3} \quad (6.3)$$

На фиг. 7 кривые $x = f_1(y, v)$ показаны тонкими сплошными линиями.

Рассмотрим на этой же плоскости (x, y) однопараметрическое семейство кривых $y = f_2(x, v)$. Оно имеет общую точку с координатами $(0, -\rho)$ и общую асимптоту — прямую $x = 1$. Прямая $x = -1$ также является асимптотой этого семейства для всех значений параметра v , кроме значения $v = \rho$.

Для определения вогнутости кривых $y = f_2(x, v)$ исследуем знак второй производной функции $y = f_2(x, v)$ по переменной x

$$\frac{\partial^2 f_2(x, v)}{\partial x^2} = 3(\rho + vx)(1-x^2)^{-3/2} \quad (6.4)$$

Оказывается, что в правой полуплоскости ($x > 0$) кривые, заданные уравнением $y = f_2(x, v)$, направлены вогнутостью в сторону положительного направления оси y . При этом из рассмотрения выражений для первой производной функции $y = f_2(x, v)$ вытекает, что условие существования экстремума этой функции приводится к виду

$$(x+\sigma)(1-x^2)^{1/2} = v + 3\rho x - 2\rho x^3 \quad (6.5)$$

Из этого условия следует, что при $v = x + \sigma$ кривая $y = f_2(x, v)$ имеет минимум в точке $x = 0$. Нетрудно убедиться, что при $v > x + \sigma$ кривые $y = f_2(x, v)$ в правой полуплоскости не имеют экстремума. Действительно, пусть

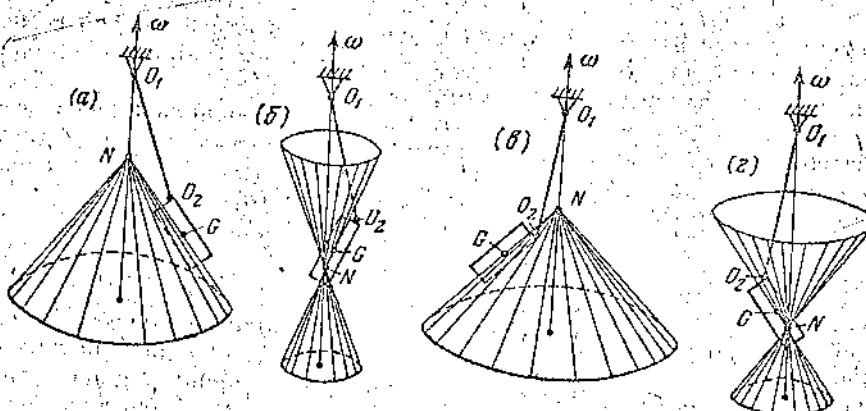
$$v = x + \sigma + b, \quad b > 0 \quad (6.6)$$

Подставив это выражение в условие (6.5), получаем

$$(x+\sigma)[(1-x^2)^{1/2} - 1] = b + \rho x(3-2x^2) \quad (6.7)$$

Однако последнее равенство невозможно, так как его левая часть отрицательна, а правая положительна. Если же $b < 0$ и $v < x + \sigma$, то равенство (6.7) возможно и, следовательно, кривая $y = f_2(x, v)$ будет иметь экстремум.

Для изучения поведения кривых $y = f_2(x, v)$ в левой полуплоскости



Фиг. 6

рассмотрим вначале случай $v=\rho$. Согласно второму соотношению (5.5), уравнение кривых $y=f_2(x, v)$ приводится к виду

$$y=-(x+\sigma)x-\rho(1-x^2)^{\frac{1}{2}} \quad (6.8)$$

Если угол δ достаточно мал, то в соответствии с формулами (5.3) можно считать $x+\sigma \gg \rho$. При этом кривая, описываемая уравнением (6.8), по форме будет близкой к прямой

$$y=-(x+\sigma)x \quad (6.9)$$

При $v < \rho$ в левой полуплоскости ($x < 0$) вторая производная функции $y=f_2(x, v)$ по переменной x положительна; следовательно, кривые $y=f_2(x, v)$ обращены выпуклостью в сторону положительного направления оси y . При $v > \rho$ эти кривые имеют точку перегиба, координаты которой $x=-\rho/v$, $y=\rho v^{-1}[x+\sigma-(v^2-\rho^2)^{1/2}]$. Справа от этой точки кривые $y=f_2(x, v)$ обращены выпуклостью в сторону положительного направления оси y , слева — в сторону отрицательного ее направления. Для значений v , близких к ρ , кривые $y=f_2(x, v)$ в области $-1 < y < 1$ близко подходят к асимптоте $x=-1$. В дальнейшем по мере увеличения или уменьшения параметра v они удаляются от асимптоты.

На фиг. 7 семейство кривых $y=f_2(x, v)$ изображено тонкими пунктирными линиями.

7. Определим точки пересечения кривых $x=f_1(y, v)$ и $y=f_2(x, v)$, являющиеся искомыми решениями совокупности уравнений (5.4).

При изменении величин x и y в первой четверти плоскости (x, y) имеет место, как уже упоминалось выше, форма стационарного движения тела, представленная на фиг. 6, a.

Так как в области $0 < x, y < 1$ кривые $x=f_1(y, v)$ выпуклы, а кривые $y=f_2(x, v)$ вогнуты, то точек их пересечения может быть только две. Однако левый конец вогнутых кривых (точка с координатами $(0, -\rho)$) лежит всегда ниже, чем левый конец выпуклых кривых. Вследствие этого одна из точек пересечения этих кривых не попадает в область $0 < x, y < 1$.

Нетрудно убедиться (см. фиг. 7), что в данном случае точка пересечения кривых $x=f_1(y, v)$ и $y=f_2(x, v)$ существует при любом v . Действительно, при малых v соответствующие кривые рассматриваемых семейств близки к своим асимптотам, пересекающимся в точке с координатами (1.1). Поэтому вблизи этой точки находится и точка пересечения упомянутых кривых. Напротив, при больших значениях v эта точка при-

бликается к точке с координатами $(0, 0)$, являющейся предельной при $v \rightarrow \infty$.

Ветвь кривой стационарных движений в координатах $x = \sin \theta_0$, $y = -\sin \alpha_0$ представляет собой кривую, соединяющую точки с координатами $(0, 0)$ и $(1, 1)$. Эта ветвь содержит точку B_1 с координатами

$$x = y = \cos \delta \quad (7.1)$$

являющуюся точкой пересечения кривых $x = f_1(y, v)$ и $y = f_2(x, v)$ при значении параметра v , равном

$$v = (1 + \kappa) \sin \delta \quad (7.2)$$

В этом легко убедиться, если непосредственно подставить значения (7.1) и (7.2) в уравнения (5.4) и воспользоваться обозначениями (5.3).

Следует отметить, что точка B_1 является точкой ветвления. Действительно, сравнивая формулы (7.1) и (4.9), приходим к заключению, что эта точка будет общей для рассматриваемой формы стационарного движения и для двух симметричных форм, рассмотренных в п. 4.

На фиг. 8, а построены графики зависимости углов α_0 , θ_0 от изменения угловой скорости ω на интервале $(0, \infty)$.

При изменении переменных x и y во второй четверти плоскости (x, y) будет существовать форма стационарного движения тела, представленная на фиг. 6, б. В данной области при малых значениях параметра v , удовлетворяющих неравенству $v < \rho$, существуют две точки пересечения кривых $y = f_2(x, v)$ и $x = f_1(y, v)$. Одна из них близка к точке с координатами $(-1, 1)$, вторая — к точке R_1 , координаты которой (см. фиг. 7)

$$x_1 = -\sin \delta, \quad y_1 = \kappa \sin \delta \quad (7.3)$$

Последние, как нетрудно проверить, являются решением совокупности уравнений (5.4) при $v = 0$.

При $v > \rho$ также существуют две точки пересечения упомянутых кривых. Однако с кривыми $y = f_2(x, v)$ пересекается уже не верхняя часть кривой $x = f_1(y, v)$, а нижняя. Таким образом, при $v = \rho$ кривая стационарных движений имеет как бы разрыв¹. В дальнейшем две точки пересечения кривых $y = f_2(x, v)$ и $x = f_1(y, v)$ по мере увеличения параметра v сближаются и при определенном значении v_i^* сливаются в одну точку B_2 (фиг. 7). Для ее отыскания следует воспользоваться условием касания упомянутых кривых, которое приводится к виду

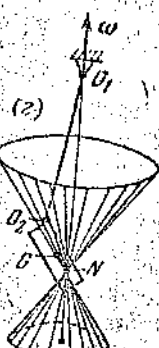
$$\kappa^{-1} [v(1-x^2)^{-\frac{1}{2}} - 1] [-(x+\sigma) + (v+3\rho x - \rho x^3)(1-x^2)^{-\frac{1}{2}}] = 1 \quad (7.4)$$

Это условие совместно с уравнениями (5.5) составляет совокупность трех уравнений для отыскания неизвестных величин v_i^* , x_1^* , y_1^* , соответствующих предельному значению v_i^* , после которого пересечение кривых $x = f_1(y, v)$ и $y = f_2(x, v)$ становится невозможным.

На фиг. 7 представлено решение системы (5.5) во второй четверти плоскости (x, y) , т. е. при $x < 0$, $y > 0$. Оказывается, что это решение в указанной области существует лишь при изменении переменных x , y соответственно в пределах $-\sin \delta > x > -1$, $1 > y > \kappa \sin \delta$.

¹ Точки пересечения кривых $x = f_1(y, v)$ и $y = f_2(x, v)$, близкие к $(-1, 1)$, как бы продолжают ветвь кривой стационарного движения тела при $-\pi < \theta_0 < -\pi/2$, не рассматривавшегося в данной работе. Этим и объясняется кажущаяся разрывность решения.

² Стрелкой указано, что ветвь кривой стационарных движений в данном случае стремится к точке R_1 (фиг. 7), ее не достигая. Такое же назначение стрелок имеется в виду и на последующих фигурах.



(6.8)

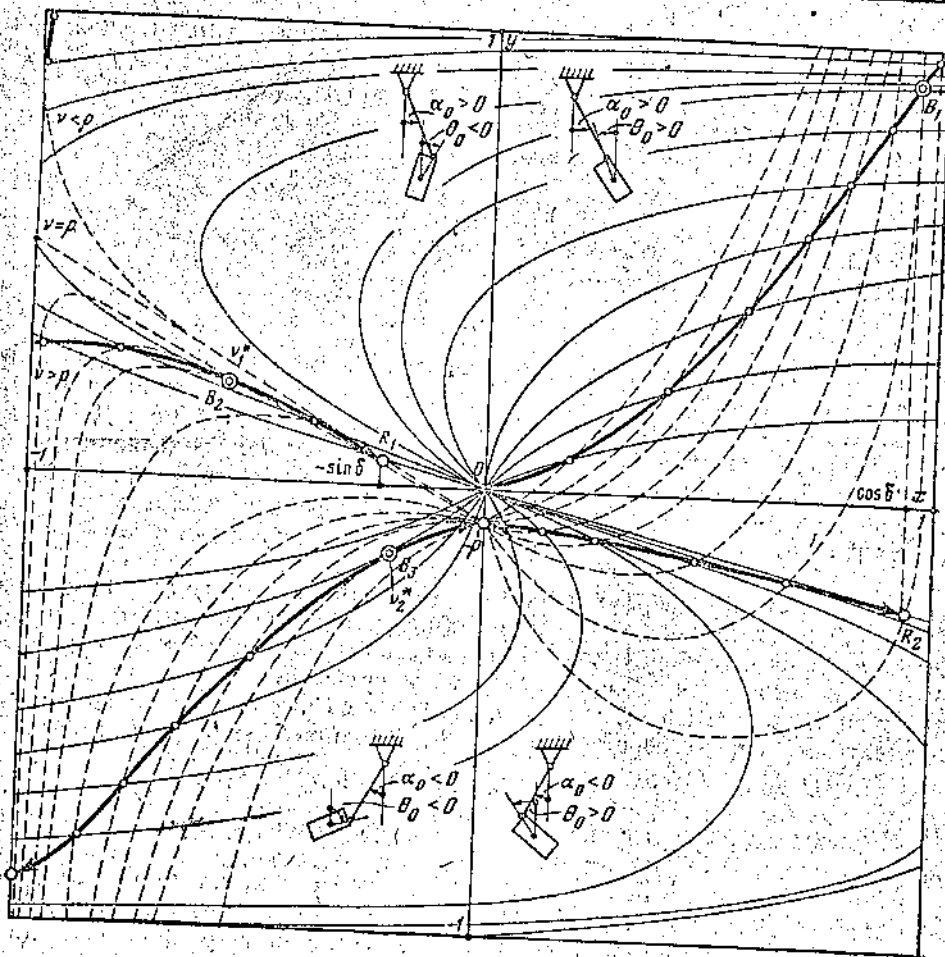
ками (5.3) мож-
дением (6.8), по-

(6.9)

одная функция
ио, кривые $y =$
го направления
ннаты которой
и кривые $y =$
о направления
ля значений v ,
како подходит
и уменьшения

ними пунктир-

и $y = f_2(x, v)$,
и (5.4).кости (x, y)
рого движе-ы, а кривые
только две.
ми $(0, -\rho)$)действие этого
бласти $0 < x$,чка пересе-
в. Действи-
х семейств
ординатами
чения упо-
точка при-



Фиг. 7

На фиг. 8, б приведены графики изменения углов α_0 , θ_0 в зависимости от изменения параметра ω для данной формы стационарного движения. Как видно из этих графиков, значению v_i^* соответствует точка с абсциссой $\omega_i^* = (g/v_i^*)^{1/2}$, от которой отвечаются две ветви. Верхняя ветвь графика α_0 в точке с абсциссой $\omega_1 = (g/l\rho)^{1/2}$ претерпевает разрыв.

При $\omega \rightarrow \infty$ нижняя ветвь графика α_0 стремится к значению $\alpha_0 = -\arg \sin(\kappa \sin \delta)$, верхняя же и нижняя ветви графика θ_0 стремятся соответственно к значениям $\theta_0 = -\delta$, $\theta_0 = -\pi/2$.

Изменению переменных x , y в области $(x < 0, y < 0)$ соответствует форма стационарного движения, изображенная на фиг. 6, б. При $y \leq \rho$ кривые $y = f_2(x, \kappa)$ в исследуемой области $0 > x$, $y > -1$ проходят вблизи точки $(0, 0)$, кривые же $x = f_1(y, v)$ близки к своей асимптоте $y = -1$ (фиг. 7). Из этого следует, что для всех значений $y \leq \rho$ не существует точек пересечения кривых $x = f_1(y, v)$ и $y = f_2(x, v)$, а следовательно, и стационарного движения тела.

При $v > \rho$ появляется точка пересечения кривых вблизи точки с координатами $(-1, -1)$. В дальнейшем с ростом v появляется вторая точка пересечения этих кривых, когда кривая $x = f_1(y, v)$ пересекает ось y в точке с координатами $x = 0$, $y = -\rho$. Подставив координаты этой точки в первое уравнение (5.5), получаем условие для нахождения соответствующего значения $v = (1 - \rho^2)^{1/2} = v_2$.

Таких кривых приближаются $x = f_1(y)$, кривые дится v

На ческих различ

Гра формы ввертом вует т дены Одна ордин ж точ

Ра случа яша в Ра

(0, +

ниже в

вой * перес

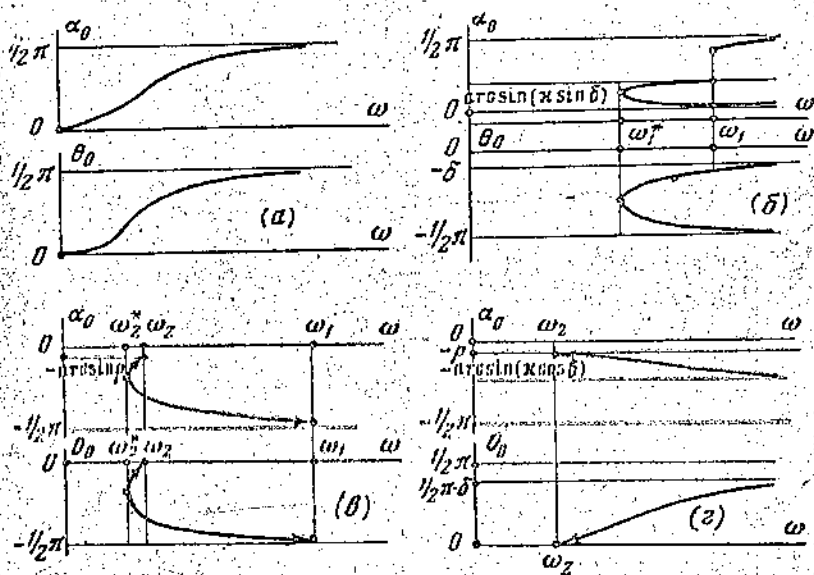
к то

реше

Г в то

ране

и $x =$



Фиг. 8

Таким образом, при $v = (1 - \rho^2)^{1/2}$ существуют две точки пересечения кривых $x = f_1(y, v)$ и $y = f_2(x, v)$. При дальнейшем увеличении v эти точки приближаются одна к другой и при определенном значении $v = v_2^*$ сливаются в одну точку B_3 (фиг. 7), являющуюся точкой касания кривых $x = f_1(y, v)$ и $y = f_2(x, v)$. При последующем увеличении параметра v эти кривые не пересекаются в рассматриваемой области. Значение v_2^* находится на той же сопокупности уравнений (7.1) и (5.5), что и значение v_1^* .

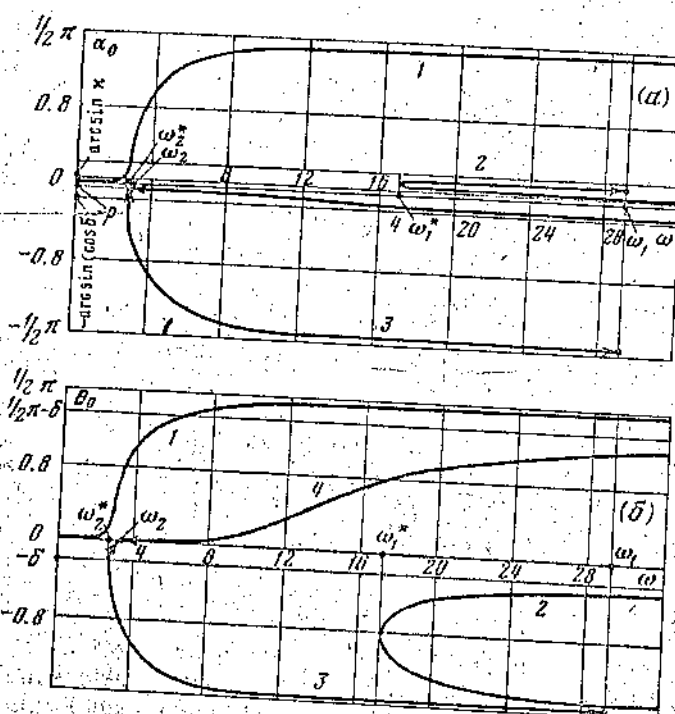
На фиг. 7 жирной линией изображена кривая, являющаяся геометрическим местом точек пересечения кривых $x = f_1(y, v)$ и $y = f_2(x, v)$ при различных значениях v в рассматриваемой области.

Графики зависимости углов $\alpha_0 = \arcsin y$, $\theta_0 = \arcsin x$ для данной формы стационарного движения представлены на фиг. 8, а. Согласно четвертому соотношению (5.3), на этих графиках значению v_2^* соответствует точка с абсциссой $\omega_2^* = (g/lv_2^*)^{1/2}$. При $\omega = \omega_2^*$ на каждом из приведенных графиков имеется точка, от которой отвечаются две ветви. Одна из них стремится к точке с абсциссой $\omega_2 = [g/l(1 - \rho^2)^{1/2}]^{1/2}$ (значения ординат в этой точке равны соответственно $\sin \alpha_0 = -\rho$, $\theta_0 = 0$), вторая — к точке, абсцисса которой $\omega_1 = (g/l\rho)^{1/2}$.

Рассмотрим изменение переменных x, y в области $x > 0, y < 0$. Этому случаю соответствует форма стационарного движения тела, изображенная на фиг. 6, а.

Ранее было указано, что в данном случае точка с координатами $(0, -\rho)$, являющаяся левым концом линии $y = f_2(x, v)$, лежит ниже точки с координатами $(0, 0)$ — левого конца выпуклой части кривой $x = f_1(y, v)$. Поэтому эти кривые в рассматриваемой области могут пересекаться при любом v лишь в одной точке. Для малых v она близка к точке R_2 (фиг. 7) с координатами $x = \cos \delta$, $y = -\kappa \cos \delta$, являющимся решением системы (5.5), когда $v = 0$.

При определенном значении v кривая $x = f_1(y, v)$ пересекает ось y в точке с координатами $(0, -\rho)$. Это значение, как уже было выяснено ранее, равно $v = (1 - \rho^2)^{1/2}$. Для всех $v > v_2$ пересечения кривых $y = f_2(x, v)$ и $x = f_1(y, v)$ в данной области уже не будет.



Фиг. 9

Таким образом, рассматриваемая форма стационарного движения тела возможна при значении параметра v , изменяющемся в пределах $0 < v < v_2 = (1 - \rho^2)^{1/2}$, что соответствует, согласно последнему из равенств (5.3), залачнику угловой скорости ω , изменяющимся в пределах $[gl^{-1}(1 - \rho^2)^{-1}]^{1/2} = \omega_2 < \omega < \infty$.

На фиг. 8, z представлены зависимости углов $\alpha_0 = \arcsin y$, $\theta_0 = \arcsin x$ от изменения параметра ω .

8. Числовой пример. Оссесимметрическое твердое тело в виде прямого кругового цилиндра (фиг. 1) вращается на струне длины $l = 101.98$ см. Радиус цилиндра $r = 6.725$ см; высота $h = 40$ см, $m = 20.396$ см, $L = 4$ см, $\delta = 11.25^\circ$, $x = a/l = 0.2$, $A/m = 144.04$ см 2 , $C/m = 22.615$ см 2 , $\sigma = (A - C) \times X(mal)^{-1} \cos 2\delta = 0.05404$, $\rho = 7\pi \lg 2\delta = 0.01142$, $g = 981$ см·с $^{-2}$.

При этих числовых данных была решена система уравнений (5.5) для значений переменных x , y , изменяющихся в пределах $-1 < x < 1$, $-1 < y < 1$. По полученным данным были построены графики зависимости углов α_0 и θ_0 от изменения угловой скорости ω для рассмотренных выше вариантов стационарных движений тела (см. фиг. 9).

Анализ полученных графиков проводился так же, как это было сделано выше в п. 7. Введенные в п. 7 характерные значения угловой скорости ω оказались в данном случае равными: $\omega_2 = 3.102$ с $^{-1}$; $\omega_1 = 29.02$ с $^{-1}$; $\omega_2^* = 2.91$ с $^{-1}$; $\omega_1^* = 17.15$ с $^{-1}$.

ЛИТЕРАТУРА

- Ишлинский А. Ю., Малащенко С. В., Стороженко В. А., Темченко М. Е., Шишканов Н. Г. Метод балансировки вращающихся твердых тел на струнном приводе. Изв. АН СССР. МТТ, 1979, вып. 5.
- Ишлинский А. Ю., Стороженко В. А., Темченко М. Е. О стационарных движении вращающегося на струне симметрического твердого тела. В сб.: Динамика и устойчивость управляемых систем. Изд-во Ин-та математики АН УССР, 1977.
- Ишлинский А. Ю. Об относительном равновесии физического маятника с подвижной точкой опоры. ПММ, 1956, т. 20, вып. 3.

Поступила 4 VII 1978

Рассматриваются консоли на изгибе вокруг указанной оси.
С помощью и постепенного изменения скорости.

1. Допустим, что консоль имеет конец, движущийся с

Системой с осью z , и стержня приводится в движение по направлению отклонения ниях.

При врачающемся отклонении обозначим положение массы

Учитывая силы, имеющие вид

$$y'' + l$$

где $v^2 = c_x/t$

Здесь v — направление

Заметим, что уравнение дает с уравнением гирокомпенсации, поверхности рождаются лера — Аппендиц.

При учёте силами, следующими за скоростью, мы